

EST-46114 Métodos Multivariados y Datos Categóricos

Sesion 07 - Analisis de Componentes Principales - Parte 3/3

Juan Carlos Martinez-Ovando

Maestria en Ciencia de Datos



Objetivos

- Estudiaremos PCA aplicado a transformaciones funcionales de los datos originales (usualmente conocidas como transformaciones por kernels).
- Exploraremos un procedimiento para corregir por *rareza* (*sparsity*) en PCA.

PCA | Preliminar 1/

Recordemos que PCA puede verse como un procedimiento de ortogonalizacion de una matriz de datos $X_{(n \times p)}$, con $n \gg p$, basada en la descomposicion en valores singulares,

$$X_{(n \times p)} = U_{(n \times p)} D_{(p \times p)} V_{(p \times p)}.$$

A partir de esta descomposicion, podemos calcular las siguientes matrices cuadraticas

$$S_{(p \times p)} = X'_{(n \times p)} X_{(n \times p)} = V'_{(p \times p)} D^2_{(p \times p)} V_{(p \times p)},$$

$$K_{(n \times n)} = X_{(n \times p)} X'_{(n \times p)} = U_{(n \times p)} D^2_{(p \times p)} U'_{(p \times n)}.$$

- La matrix S corresponde a la suma de cuadrados de X –cuando los datos han sido estandarizados previamente–,
- La matriz K es referida como la *matriz de Gram*.

Recordemos que el primer SPC esta dado por la siguiente transformacion

$$\begin{aligned}c_1 &= Xv_1 \\&= UDV'v_1 \\&= u_1d_1,\end{aligned}$$

donde v_1 es un vector de dimension $(p \times 1)$ correspondiente al eigenvector asociado con el primer eigenvalor de X .

Sucesivamente, los demas componentes principales (c_2, \dots, c_p) se obtienen con base en la misma proyeccion anadiendo las restricciones ortogonales anidadas correspondientes con los c_j s previos.

Retomemos, el primer componente principal, bajo SPCA, puede obtenerse de tres formas alternaivas:

- a. Como el producto de X con el primer eigenvector de S
- b. A partir de la descomposicion en valores singulares de X (descrito lineas arriba)
- c. A traves de la descomposicion singular de K .

Así, pues no se necesita saber X directamente, sino que basta con conocer S o K para producir los componentes principales de un conjunto de datos.

–Este resultado fue invocado la sesión anterior para realizar PCA Inferencial–.

En particular, el primer componente principal de un vector p -dimensional \mathbf{x}_i . puede obtenerse como la proyeccion sobre el eje del primer componente, i.e.

$$c_{i1} = \mathbf{v}_1' \mathbf{x}_{i.}$$

la expresion anterior puede calcularse directamente, o *indirectamente* empleando la expresion alternativa

$$c_{i1} = \mathbf{u}_1' \mathbf{X} \mathbf{x}_{i.} / d_1 = \sum_{i=1}^n \left(\frac{u_{i1}}{d_1} \right) y_i' \mathbf{X}.$$

Expresiones semejantes se obtienen de manera analoga para los demas componentes principales (no solo el primero).

De esta forma podemos ver que es necesario conocer los productos interiores $(\mathbf{x}_i' \mathbf{X})_{i=1}^n$ solamente.

Como antes mencionamos, el calculo de c_1 puede obtenerse de dos formas:

Forma.1

Calcular $S = X'X$, obteniendo el primer eigenvector de esta matriz, v_1 de S , y calcular

$$c_1 = Xv_1.$$

Forma.2

Empleando la *matriz de Gram*, calculando XX' , obteniendo el primer eigenvector de esta matriz, u_1 y su correspondiente eigenvalor, d_1 , y calculando

$$c_1 = u_1 d_1.$$

*La **Forma.1** es particularmente util cuando $n \gg p$, mientras que la **Forma.2** lo es para el caso $n \ll p$.*

Al final del día, SPCA descansa en el calculo de los prodcutos interiores

$$(\mathbf{x}_i' \mathbf{X})_{i=1}^n,$$

el cual puede interpretarse como una 'medida de similaridad euclidiana' entre objetos p -dimensionales.

*La idea entonces de **PCA Funcional** (o **Kernel PCA**) es la de relajar el supuesto de similaridad euclidiano para otras medidas de similaridad.*

Esto en particular cuando los objetos/renglones de X residan en *sub-espacios no lineales* de \mathbb{R}^p (curvas, superficies o *manifolds*).

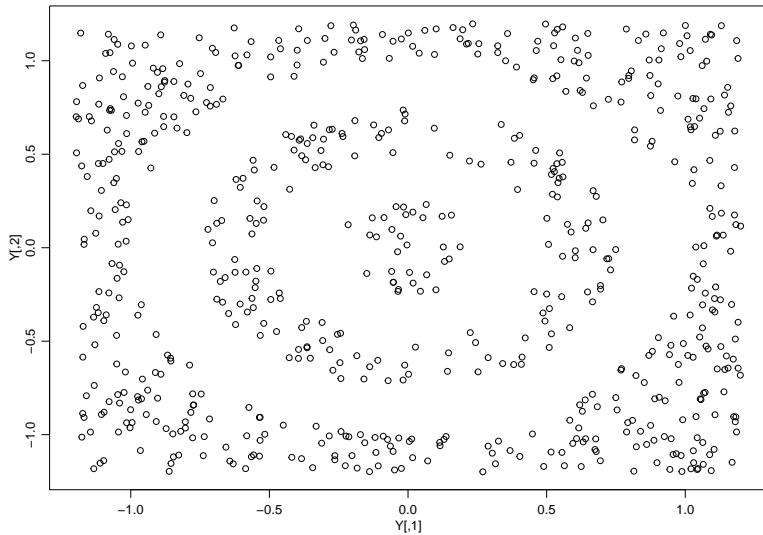
¿Como son los sub-espacios no lienales?

Veamos un ejemplo con el siguiente diagrama de datos sinteticos en R.

```
set.seed(1)
n <- 1000
Y <- matrix(runif(n*2,-1.2,1.2),n,2)
r <- sqrt(apply(Y^2,1,sum))
Y <- Y[ r<.25 | (r>.5 & r<.75) | r>1 ,]
r <- sqrt(apply(Y^2,1,sum))

r <- sqrt(apply(Y^2,1,sum))
clr <- rgb( (r/max(r))^.7,(1-r/max(r))^.7,.5)
par(mar=c(3,3,1,1),mgp=c(1.75,.75,0))
#plot(Y,col=clr)
plot(Y)
```

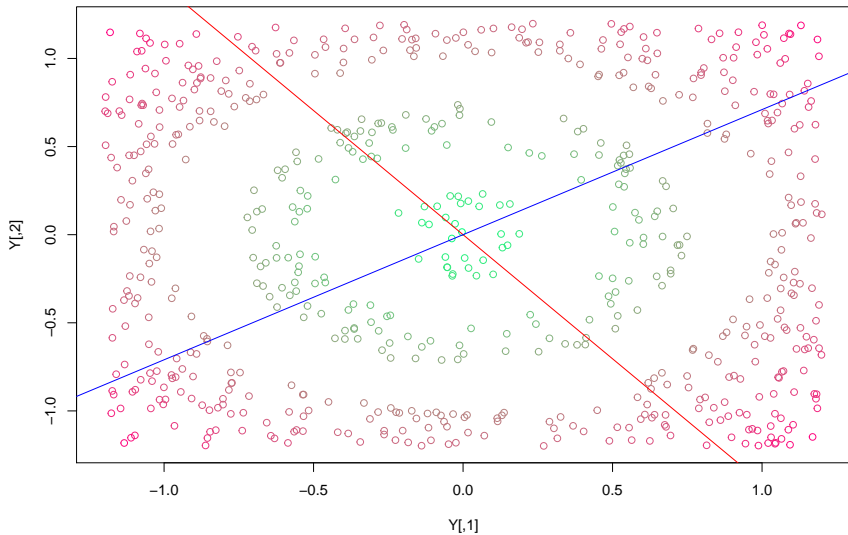
PCA | Funcional 4/



En este caso, la *matriz de Gram* deseable sera tal que mida alternativamente la similaridad entre los objetos/renglones \mathbf{x}_i .s de la matriz \mathbf{X} .

En caso de realizar PCA convencional en este conjunto de datos, se obtendrian resultados confusos, pues al parecer no habria ortogonalizacion que realizar. **Al menos, ortogonalizacion lienal.** Veamos los siguientes resultados:

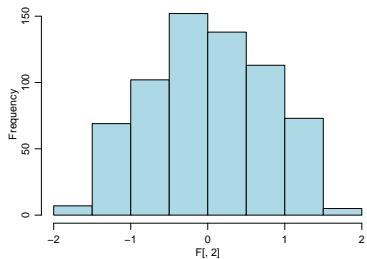
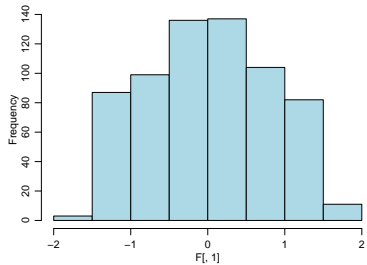
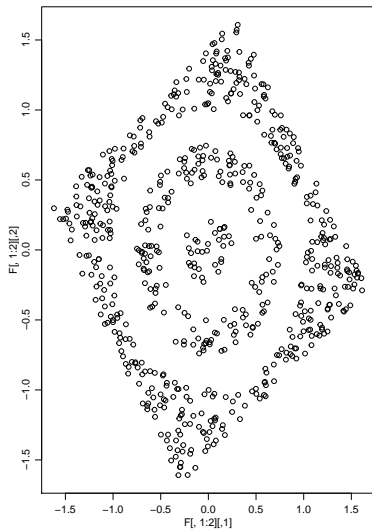
PCA | Funcional 7/



- En el grafico anterior, las rectas representan los *dos ejes principales del SPCA*.
- Como observamos, los datos de *componentes principales* son iguales a X .

Esto es porque la *medida de similaridad* empleada es la euclidiana. El resultado es, en este caso, una rotacion de la matriz X solamente.

PCA | Funcional 9/



El resultado anterior se obtuvo adoptando la matriz

$$K = XX',$$

como la matriz de Gram basada en la noción de similaridad euclidiana (i.e. similaridad entre datos/renglones \mathbf{X}_i).

Ahora, si *modificamos la no nocion de similaridad* por la siguiente metrica,

$$d(\mathbf{x}_{i\cdot}, \mathbf{x}_{j\cdot}) = (\mathbf{x}'_{i\cdot} \mathbf{x}_{j\cdot} + 1)^2,$$

la *matriz de Gram* asociada seria

$$\tilde{K} = (XX' + 1)^2.$$

Noten que las modificaciones de similaridad pueden ser distintas.

En este caso, realizando la descomposicion singular de \tilde{K} resultaria en el siguiente SPCA.

```
K <- (tcrossprod(Y) + 1)^2
```

```
sK <- svd(K)
```

```
F <- sK$u%*%diag(sK$d)
```

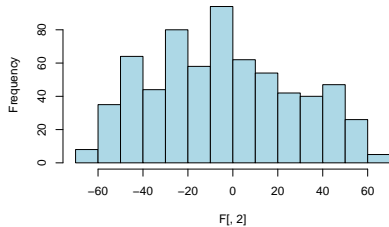
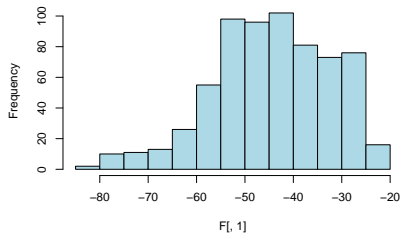
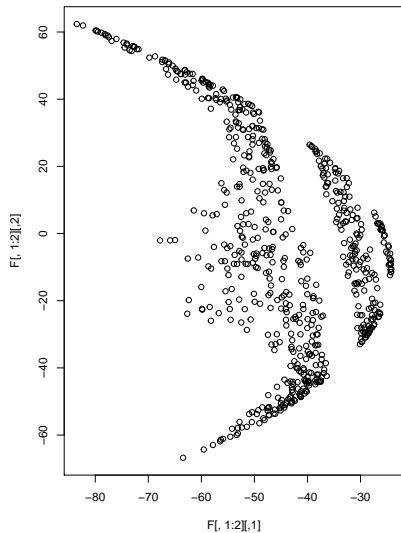
```
layout(matrix(c(1,1,2,3),2,2))
```

```
plot(F[,1:2])
```

```
hist(F[,1],main="",col="lightblue")
```

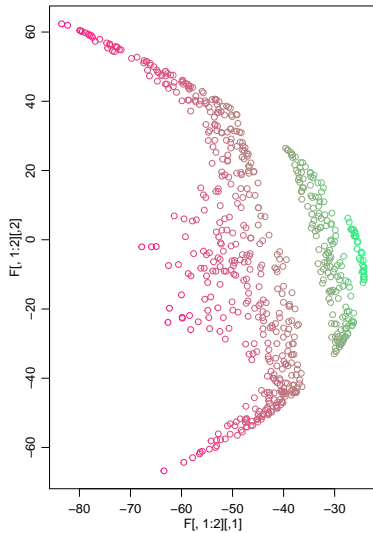
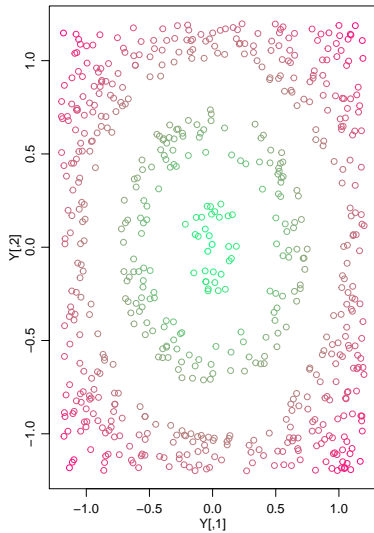
```
hist(F[,2],main="",col="lightblue")
```

PCA | Funcional 13/



- Como es evidente, los datos transformados (panel izquierdo en la grafica), responden la evidente separacion de anillos que visualiamos en los datos originales.
- Las proyecciones de los datos en los *nuevos ejes principales* es tambien distinta, mostrando sesgo en este caso.
- La asociacion entre las regiones de los datos originales, X , y los datos transformados, F , se muestra en el siguiente grafico.

PCA | Funcional 15/



Al modificar la noción de similaridad como antes, se introduce la noción de *kernel*.

- En un contexto general, el *kernel* servirá como la medida de similaridad.

Así, entre dos puntos y_i y y_j la similaridad de objetos/renglones con base en el *kernel* se definirá como

$$k(\mathbf{x}_i, \mathbf{x}_j) = \phi(\mathbf{x}_i)' \phi(\mathbf{x}_j),$$

donde

$$\phi : \mathbb{R}^p \rightarrow \mathbb{R}^q,$$

donde típicamente $q \gg p$.

El *kernel*, así definido, puede interpretarse como el **producto interior no euclidiano** no de los datos originales \mathbf{x}_i s, sino de los datos modificados por una cierta función $\phi(\cdot)$.

La elección de la función $\phi(\cdot)$ es generalmente caso particular. Revisen las lecturas complementarias para darse una idea general de las aplicaciones posibles.

En el ejemplo anterior, la función $\phi(\cdot)$ empleada es:

$$\phi(\mathbf{x}_{i\cdot}) = \left(1, \sqrt{2}x_{i1}, \dots, \sqrt{2}x_{ip}, x_{i1}^2, \dots, x_{ip}^2, \sqrt{2}x_{i1}x_{i2}, \dots, \sqrt{2}x_{i(p-1)}x_{ip} \right),$$

para $i = 1, 2, \dots, p$.

¿En que contextos **PCA Funcional** es util?

- Procesamiento de textos
- Procesamiento de imagenes
- Procesamiento de audio

Ejercicio analítico

- Verifiquen que $d(\mathbf{x}_i, \mathbf{x}_j)$ visto antes es igual a $\phi(\mathbf{x}_i)' \phi(\mathbf{x}_j)$ para todo \mathbf{x}_i y \mathbf{x}_j en \mathbb{R}^p .

Observaciones

- En R se pueden encontrar varias implementaciones confiables en el paquete `kernlab`.
- Casi todos los procedimientos vistos en este curso donde se emplea el producto interior euclidiano pueden modificarse para definirse en terminos de *kernels*.

Regresion es un ejemplo, derivando en modelos de expansiones de bases de kernels. Eso lo veremos en la siguiente semana.

Lecturas complementarias

- Wang (2014) “Kernel Principal Component Analysis and its Applications in Face Recognition and Shape Models.” [est46114_s07_suplemento1.pdf](#)
- Erichson et al (2018) “Sparse Principal Component Analysis via Variable Projection.” [est46114_s07_suplemento2.pdf](#) y en esta [liga](#).

Table of Contents

Objetivos

PCA | Preliminar

PCA | Funcional

Ejercicio

Lecturas